

高等学校交流讲义

# 无线电电子学

WUXIANDIAN DIANZIXUE

第二册

华东师范大学物理系电子学教研组编著

人民教育出版社

高等学校交流讲义



无 线 电 电 子 学

WUXIANDIAN DIANZIXUE

第 二 册

华东师范大学物理系电子学教研组编著

人民教育出版社

本书是作者根据几年来在华东师范大学物理系无线电电子学课程所用的讲义修改而成的。书中着重介绍了基础知识，并注重联系实际：对收音机、扩音机、电视接收机和一些常用的电子仪器都作了适当的介绍；某些地方列入了设计和许多实际线路，对于无线电电子学方面的新成就也作了一些介绍：如脉冲技术、微波与雷达、晶体管及其线路、电子计算技术和电子自动控制等。

本书共15章，分一、二、三册出版。第一章至第六章为第一册，第七章至第十一章为第二册，第十二章至第十五章为第三册。

本书可作为综合大学高等师范学校物理各专业无线电基础课程的教材，也可供以上学校及高等工业学校中设有“无线电基础”课程的各类理科专业选用。

## 无线电电子学

### 第二册

华东师范大学物理系电子学教研组编著

北京新华书店业营业部可订出字第2号

人民教育出版社出版（北京景山东街）

人民教育印刷厂印装

新华书店社、发行所发行

各地新华书店经售

统一书号K13010·970 开本 850×1168 1/16 印张 10 7/16 插页 4

字数 252,000 印数 35,001—69,000 定价（6）¥1.10

1961年7月第1版 1962年3月北京第4次印刷

## 第二册 目录

### 第七章 振荡和脉冲线路

7.1 电子管振荡器工作原理的分析	1
7.2 振荡条件和振荡频率	4
7.3 振荡器作为自激放大器	8
7.4 振荡器的各种线路	10
7.5 电子耦合式振荡器	16
7.6 振荡频率的稳定法·晶体振荡器	17
7.7 超高频振荡器	20
7.8 音频振荡器	22
7.9 负阻振荡器	26
7.10 锯齿形波发生器	29
7.11 脉冲的基本知识	34
7.12 多谐振荡器	36
7.13 多谐振荡器的同步	47
7.14 阻塞振荡器	49
7.15 触发电路	52
7.16 限幅器	55
7.17 微分电路和积分电路	61
7.18 强脉冲发生器	66
7.19 脉冲放大器	70

### 第八章 调制及发射机

8.1 调幅原理	85
8.2 平方律调幅或小讯号调幅	87
8.3 直线性的调幅	90
8.4 平衡调幅器	100
8.5 调频和调相	101
8.6 调频波的频谱分析	103
8.7 调频波的产生方法	107
8.8 干扰对于调制波的影响	111
8.9 无线电广播台的组成	113

### 第九章 检波及接收机

9.1 晶体检波	117
9.2 强讯号两极管检波	120
9.3 桥路检波	127
9.4 板路检波	131
9.5 再生检波	135
9.6 差频检波·变频原理	139
9.7 调频检波	142
9.8 接收机的类别及特征	149
9.9 超外差式接收机线路的分析	157
9.10 调频超外差接收机	176
9.11 超短波的接收	178

### 第十章 电子仪器

10.1 阴极射线示波器	183
10.2 电子管伏特计	206
10.3 频率计	217
10.4 品质因数表—Q表	223
10.5 符合和反符合线路	227
10.6 脉冲电压振幅分析器	237
10.7 进位线路(定标电路)	248
10.8 核物理电子仪器	261

### 第十一章 晶体管及其线路

11.1 半导体的物理性质	265
11.2 半导体整流器——晶体二极管	276
11.3 半导体放大器——晶体管	279
11.4 晶体三极管的基本线路	294
11.5 晶体管的实际线路	313
11.6 晶体管超外差收音机	320
11.7 晶体管电路和真空管电路的对偶类似	323

## 第七章 振蕩和脉冲線路

在无线电的广泛应用中，經常需要获得各种频率和各种波形的交变电流：象在无线电通讯中必須用高頻率的电流来产生电磁波；在电声技术中必須用音频的电流来产生声波；在电视、雷达等设备中必須获得特种波形的交变电流如锯齿形波、矩形波和各种脉冲波等来控制电路的工作。振蕩器就是将直流电轉变为交流电的电子仪器。振蕩器的工作原理和它的線路結構，是因它所产生的頻率和波形而不同的。脉冲电路就是用来产生各种脉冲的电子線路，它的工作原理和结构也是随各种脉冲波形和脉冲持續期而有所不同的。本章討論的內容有产生正弦波的高频、超高頻和音频振蕩器的工作原理，产生锯齿波、矩形波振蕩器的工作原理，以及各种脉冲波的自激发生器和他激发生器的線路結構原理。

### 7·1 电子管振蕩器工作原理的分析

第二章里曾討論过一个电感  $L$  和电容  $C$  串联的迴路能产生高频正弦波形的振蕩电流(图 7-1)，不过这种振蕩器是阻尼振蕩，原因是由于迴路里不可避免地包含有消耗电能使导線发热的电阻  $R$ ，如果电阻  $R$  所消耗的电能經常能得到外界的补偿，那末迴路中便能維持非阻尼的振蕩，利用电子管和振蕩迴路的适当組合，便能自动地經常从板电源(直流)中取得电能补偿迴路中电阻  $R$  的損耗而維持迴路作等幅振蕩。电子管和振蕩迴路的这种組合就构成所謂的振蕩器。图 7-2 表示一个产生高频正弦波形的振蕩器線路，并联振蕩迴路在电子管的板极电路中，所以又称为板調振蕩器。振蕩器的电子管可以在特性曲綫的直綫部分工作，也可以不限于特性曲綫的直綫部分工作，前者称为第一类振蕩器，

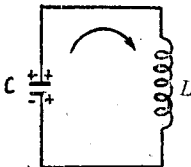
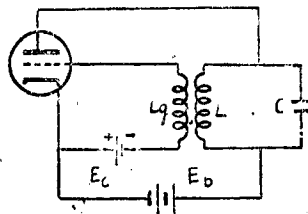
图 7-1  $L$ 、 $C$  振荡回路

图 7-2 高频正弦波形的振荡器线路

后者称为第二类振荡器，实际上振荡器多属第二类。下面在分析振荡原理时是根据第一类，以求简便，因为研究非直线性微分方程的问题比研究直线性微分方程要困难和复杂得多。

在图 7-2 中当电子管开始导电或板电源接通时，由于电容器  $C$  充电而使振荡回路产生振荡，这样电感  $L$  中就有振荡电流  $i_L$ ，电容器  $C$  两端也有振荡电压  $u$ ，分别如图 7-3 中曲线 2 和曲线 1 所示，电流  $i_L$  几乎落后于电压  $u$   $90^\circ$ 。由于电流  $i_L$  流过线圈  $L$  再经过互感  $M$  的作用，在栅极线圈  $L_g$  中便获得一感应电压  $u_g$ ，它与  $i_L$  的关系为：

$$u_g = M \frac{di_L}{dt}, \quad (7-1)$$

设

$$i_L = I_m \sin \omega t,$$

因此

$$u_g = \omega M I_m \cos \omega t, \quad (7-2)$$

互感  $M$  的值可正可负，由线圈  $L_g$  与  $L$  的相对关系来决定（由线圈的接法或绕法来确定），因此由于互感作用，在栅极上感生的电压有两种可能性即：

$$u_g = \pm \omega |M| I_m \cos \omega t, \quad (7-3)$$

上式如取正号则  $u_g$  应如图中曲线 3 的实线所示，如取负号便如虚线所示。 $u_g$  的瞬时值为正时，板流增大，为负时，板流减小。设板流  $i_a$  可由下式表示：

$$i_a = I_{ao} + I_{am} \cos \omega t,$$

式中  $I_{ao}$  是板流的直流分量， $I_{am}$  为交流分量的振幅，如图 7-3 中曲线

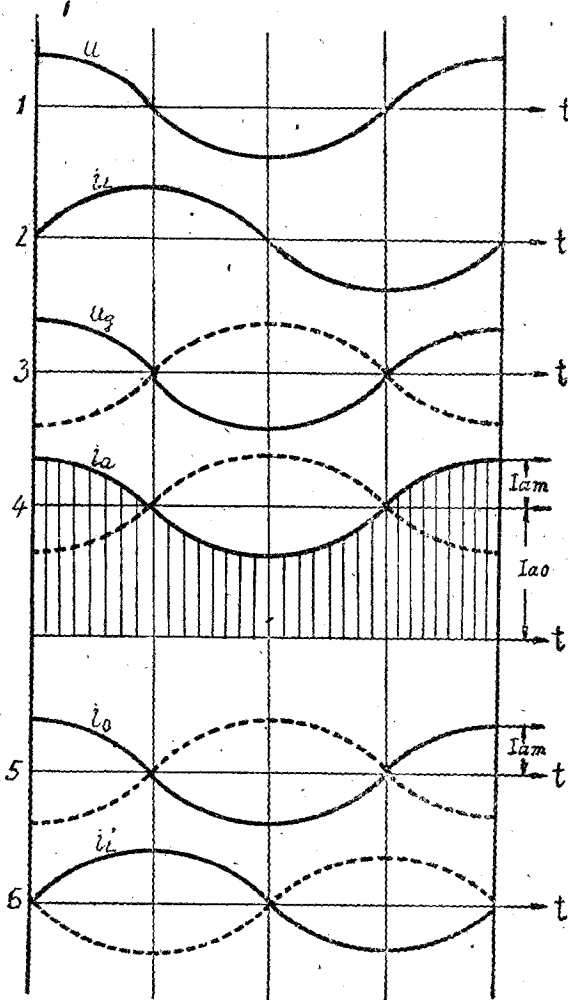


图 7-3 振荡电流与电压的曲线

4 所示。图中曲线 5 仅表示板流的交流分量  $i_o$ ，此分量  $i_o$  流经板路中的  $LC$  电路时，在  $L$  支路中的电流应为  $i'_L$ ，如图中曲线 6 所示， $i'_L$  几乎落后于  $i_o$   $90^\circ$ 。比较  $i'_L$  与  $i_L$  的相位关系，当(7-3)式取正号时，在图 7-

3 中表示  $u_g, i_a, i_o, i_L'$  的曲线均为实线，可见  $i_L'$  与  $i_L$  同相位，这时  $i_L'$  对  $i_L$  起加强的作用，迴路  $L, C$  中的振荡便有持续的可能。当(7-3)式取负号时， $u_g, i_a, i_o, i_L'$  均如图 7-3 中相应的虚线所示，这时显然  $i_L'$  与  $i_L$  位相正相反， $i_L'$  对  $i_L$  起了减弱的作用，振荡便不能持续。所以产生振荡的首要条件是必须正确的联结或绕制棚路线圈  $L_g$ ，使  $M$  有适当符号以致电流  $i_L'$  对  $i_L$  能起着加强的作用。

## 7.2 振荡条件和振荡频率

从上一节我们知道要使振荡能持续，首要条件是：必须使互感  $M$  有适当符号，换句话说就是使棚压  $u_g$  与振荡回路上的交流电压  $u$  同相（图 7-3）。

但是仅仅这个条件还是不够的，这个条件只能说明振荡有持续的可能，要使振荡能持续下去，还须使互感  $M$  的量值与振荡线路诸元件和电子管的参数间满足某一定关系，这个关系可求出如下：

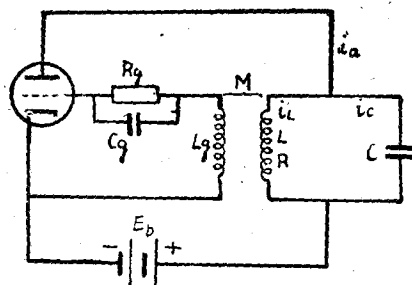


图 7-4 板调振荡器的线路

根据图 7-4 可得到下列諸方程：

$$i_a = i_L + i_c. \quad (7-4)$$

及  $i_L R + L \frac{di_L}{dt} = \frac{1}{C} \int i_c dt. \quad (7-5)$

上列式中  $i_a$  是板流， $i_L$  是迴路的电感支路中的电流， $i_c$  是电容支路中

的电流，从(7-4)及(7-5)二式消去  $i_o$ ，可得：

$$i_L R + L \frac{di_L}{dt} + \frac{1}{C} \int i_L dt = \frac{1}{U} \int i_a dt,$$

将上式对  $t$  微分，并逐项除以  $L$ ，得：

$$\frac{d^2 i_L}{dt^2} + \frac{R}{L} \frac{di_L}{dt} + \frac{1}{LC} i_L = \frac{1}{LC} i_a,$$

因为  $i_a = f(u_g, u_a)$ ,

$$\text{且 } u_g = M \frac{di_L}{dt} \text{ 及 } u_a = -u = -\left(i_L R + L \frac{di_L}{dt}\right). \quad (7-8)$$

一般說來板流  $i_a$  为栅压  $u_g$  及板压  $u_a$  的非直線性函数，解非直線微分方程(7-6)式是很困难和复杂的，不能在这里进行討論，如果振荡器的电子管限于在特性曲綫的直線部分工作，并且板流与栅压和板压的关系可由下列直線方程表示：

$$i_a = S u_g + \frac{1}{R_i} u_a, \quad (7-9)$$

将式(7-8)的  $u_a$  及  $u_g$  代入(7-9)式，再以(7-9)式的  $i_a$  代入(7-6)式后，得：

$$\frac{d^2 i_L}{dt^2} + \frac{R}{L} \frac{di_L}{dt} + \frac{1}{LC} i_L = \frac{1}{LC} \left[ S M \frac{di_L}{dt} - \frac{1}{R_i} \left( i_L R + L \frac{di_L}{dt} \right) \right],$$

$$\text{即 } \frac{d^2 i_L}{dt^2} + \left( \frac{R}{L} - \frac{SM}{LC} + \frac{1}{R_i G} \right) \frac{di_L}{dt} + \frac{1}{LC} \left( 1 + \frac{R}{R_i} \right) i_L = 0, \quad (7-10)$$

$$\text{以 } 2\delta = \frac{R}{L} - \frac{SM}{LC} + \frac{1}{R_i G}, \quad (7-11)$$

$$\omega^2 = \frac{1}{LC} \left( 1 + \frac{R}{R_i} \right), \quad (7-12)$$

代入(7-10)式便得：

$$\frac{d^2 i_L}{dt^2} + 2\delta \frac{di_L}{dt} + \omega^2 i_L = 0,$$

上式的解为：

$$i_L = Ae^{-\delta t} \sin(\omega t + \varphi), \quad (7-13)$$

式中  $A$  与  $\varphi$  为两常数, 它们的值决定于初始条件。

从(7-13)式中可以看出: 要得到等幅振荡, 必须令

$$\delta = 0,$$

即  $\frac{R}{L} - \frac{SM}{LC} + \frac{1}{R_i C} = 0, \quad (7-14)$

这样迴路中的振荡电流  $i_L$  的振幅才能保持定值  $A$  而不致随时间衰减(图 7-5)。由(7-14)式和  $\mu = R_i S$  的关系式便可给出获得等幅振荡所必需的互感  $M$  的量值。

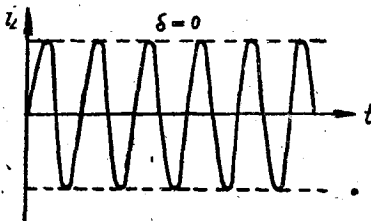


图 7-5 等幅振荡

$$M = \frac{CRR_i + L}{\mu}. \quad (7-15)$$

如果振荡器的电子管的内阻  $R_i$  和放大因数  $\mu$  很大(象五极管), 上式中的右边第二项便可略去, 因而

$$M = \frac{CR}{S}. \quad (7-16)$$

在(7-13)式中, 如  $\delta$  并不等于零而是小于或大于零, 便得到下述结果:

当  $\delta > 0$  亦即  $M < \frac{CRR_i + L}{\mu} \approx \frac{CR}{S}$ ,

这时在振荡迴路中得到的是一减幅振荡(图 7-6)。电流  $i_L$  的振幅为  $Ae^{-\delta t}$ , 其值随时间而减少着。这是由于板电源供给的能量不足以补

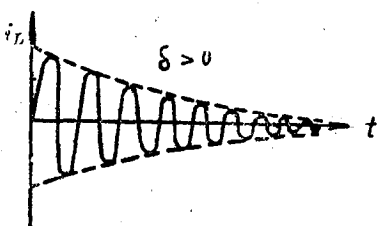


图 7-6 减幅振荡

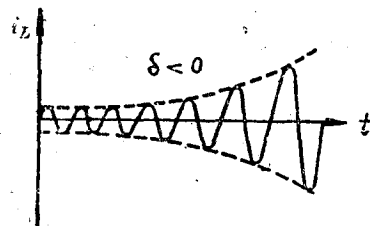


图 7-7 振幅增加的振荡

偿迴路中所消耗的能量。

$$\text{当 } \delta < 0 \text{ 亦即 } M > \frac{CRR_i + L}{\mu} \approx \frac{CR}{S},$$

这时在振荡迴路中得到的应该是振幅  $Ae^{-\delta t}$  随时间  $t$  无限地增加的振荡(图 7-7)。

很显然的，不管在任何情况下，振幅无限制地增加，总是和事物的真正情况不相符合的。实际上电子管的非直綫性使得振荡幅度的增长有了一定的限制，因为当振幅增大到一定程度时，电子管已进入特性曲綫的非直綫部分工作，跨导  $S$  便随着减小。

所以为了使振荡迴路中的振荡能持续下去，必须：

$$M \geq \frac{CRR_i + L}{\mu},$$

上式两边除以  $L$ ，令  $\beta$  代表比值  $M/L$ ，并称它为反饋因数，又以  $Z_0$  代表振荡迴路的等效阻抗  $L/CR$ 。因而得：

$$\beta \geq \frac{1}{\mu} + \frac{1}{SZ_0}. \quad (7-17)$$

从此式可以看出：如放大因数  $\mu$ 、跨导  $S$  和迴路等效阻抗  $Z_0$  三个数愈大，那么振荡器的自激振荡愈容易。

現在我們来推求图 7-4 所示振荡线路所产生的频率。仍从表示振荡电流  $i_L$  的公式(7-13)中，可以得知振荡频率应为  $\omega$ ，且由(7-12)式可知

$$\omega = \frac{1}{\sqrt{LC}} \sqrt{1 + \frac{R}{R_i}}$$

令  $\omega_0 = 1/\sqrt{LC}$  表示振荡回路的固有频率，因而上式可写为：

$$\omega = \omega_0 \sqrt{1 + \frac{R}{R_i}} \quad (7-18)$$

从此式可以看到，振荡频率不仅和振荡回路的参数( $L, C, R$ )有关，而且还决定于电子管的参数( $R_i$ )。后一因素特别重要，因为它指出振荡器的频率决定于电子管工作情况的变化(在这个简单情况下，是决定于内阻  $R_i$  的变化)。

当电子管的情况改变时( $R_i$  变化)，振荡器的频率稳定度可以用  $\frac{\partial \omega}{\partial R_i}$  来确定。因此利用(7-18)式可得：

$$\frac{\partial \omega}{\partial R_i} = -\frac{1}{2} \frac{\omega_0 R}{R_i^2 \sqrt{1 + \frac{R}{R_i}}} \quad (7-19)$$

将上式的右边部分的分子和分母都乘以  $\omega_0 L$ ，并且注意到下列关系式：

$$\frac{\omega_0 L}{R} = Q \text{ 和 } \omega_0^2 = \frac{1}{LC},$$

因而(7-19)式就可取下列形式

$$\frac{\partial \omega}{\partial R_i} = -\frac{1}{2QCR_i^2 \sqrt{1 + \frac{R}{R_i}}} \quad (7-20)$$

这个式子明显地指出，当电子管的工作情况改变时，保持振荡频率稳定的条件，即：振荡回路的电容  $C$ 、电子管的内阻  $R_i$  和振荡回路的品质因数  $Q$  等三个数值愈大，则频率的稳定性愈高。

### 7·3 振荡器作为自激放大器

振荡器实际上也是放大器，不过这个放大器的输入电压系取自它

的板路输出电压中的一部分，因此称为自激放大器。自激放大器也可视作为反饋因数  $\beta$  等于  $\frac{1}{A}$  的正反饋放大器（见第四章反饋放大器）， $A$  为放大器的放大率。根据这一点我们也能求出上一节的表示振荡条件的关系式及振荡频率。图 7-2 可改绘如图 7-8，板路振荡回路与棚路  $L_g$  的正确耦合可达到正反饋的作用。当  $\beta u = u_g$  时，放大器便在自激的状态下工作，因此：

$$\beta = \frac{u_g}{u} = \frac{1}{A}, \quad (7-21)$$

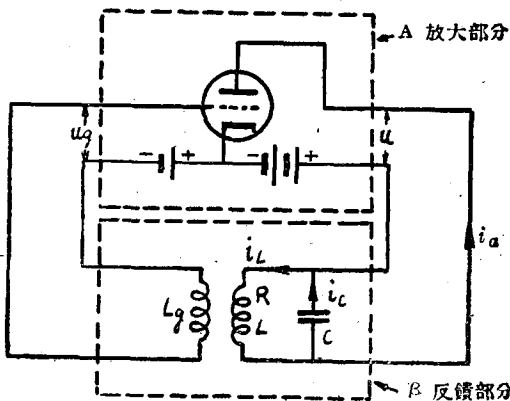


图 7-8 振荡器作为自激放大器的线路

式中  $u_g$  表示放大器棚路的输入电压， $u$  表示板路输出电压。当板路负载为阻抗  $Z$  时，根据第四章可知放大器的放大率应为：

$$A = \frac{Z}{R_i + Z} \mu, \quad (7-22)$$

其中

$$Z = \frac{Z_L Z_G}{Z_L + Z_G}, \quad (7-23)$$

从图 7-8 又知：

$$u = I_C Z = (I_L + I_C) Z = I_L \left(1 + \frac{Z_L}{Z_G}\right) Z, \quad (7-24)$$

$$u_g = I_L Z_M = j\omega M I_L \quad (7-25)$$

将上列四式代入(7-21)式可得：

$$\mu Z_M = (R_i + Z) \left( 1 + \frac{Z_L}{Z_C} \right),$$

$$\text{或: } \mu Z_M Z_C = R_i (Z_C + Z_L) + Z_L Z_C,$$

将  $Z_M = j\omega M$ 、 $Z_L = R + j\omega L$  和  $Z_C = -j\frac{1}{\omega C}$  等关系代入上式经整理可得：

$$\mu \frac{M}{C} - R_i R - \frac{L}{C} + j \left[ \frac{R}{\omega C} - R_i \left( \omega L - \frac{1}{\omega C} \right) \right] = 0. \quad (7-26)$$

如果一个复数等于零，必须实数和虚数均分别等于零。因此从(7-26)式的实数为零可得振荡条件：

$$M = \frac{C R R_i + L}{\mu}, \quad (7-27)$$

从虚数为零可得振荡频率：

$$\omega = \frac{1}{\sqrt{LC}} \sqrt{1 + \frac{R}{R_i}}. \quad (7-28)$$

上述两式和前一节的(7-15)式与(7-18)式相同。又根据(7-21)式和(7-22)式还可以求得反馈因数  $\beta$  之值

$$\begin{aligned} \beta &= \frac{1}{A} = \frac{R_i + Z}{\mu Z} = \frac{1}{S Z} + \frac{1}{\mu} = \frac{R_i + \frac{L}{CR}}{\mu \frac{L}{CR}} = \\ &= \frac{C R R_i + L}{\mu L} = \frac{M}{L}. \end{aligned}$$

上式也和前节(7-17)式相同，这样把振荡器作为自激放大器来分析可以获得和前节完全相同的结果。

#### 7.4 振荡器的各种线路

现在来介绍一些振荡器的常用线路并讨论一下振荡器的板电压和

栅电压的供给問題。

**板調振荡器线路** 在7·1节中我們已研究过板調振荡器的振荡過程，它的实际線路如图7-9所示，图a是串联供电線路，即板电源、振荡迴路和电子管三者串联联接。图b是并联供电線路，即板电源、振荡迴路和电子管三者并联联接（关于串联供电和并联供电問題下面要專門討論）。

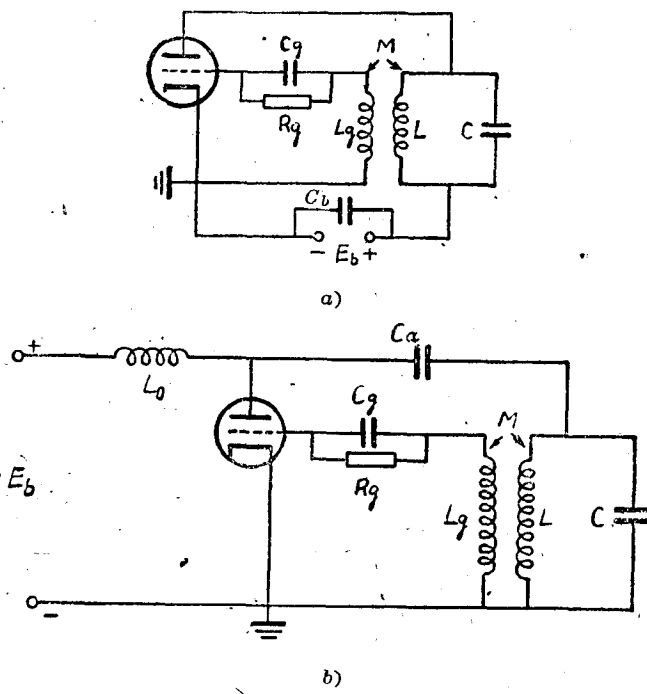


图7-9 板調振器线路

**棚調振荡器线路** 图7-10所示为棚調振荡器线路，因它的振荡迴路在棚路內而得名。振荡的发生和維持是依靠了板路中线圈 $L_a$ 通过互感 $M$ 供给振荡迴路 $L, C$ 以能量。

**哈脫萊振荡器线路** 图7-11所示就是这种振荡器线路，它是应用

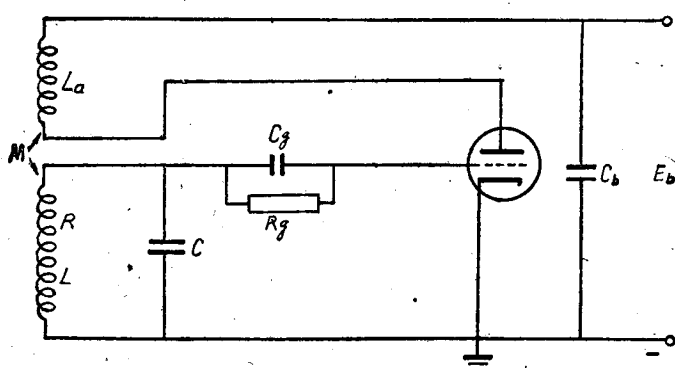
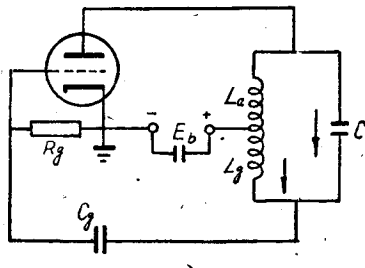
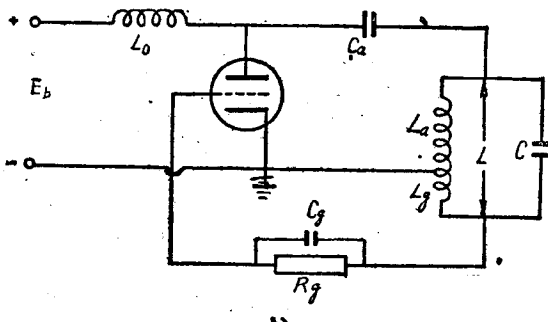


图 7-10 楞调振荡器线路

最广的一种振荡线路，因为只要用一只线圈就可以了。这个线圈具有三个接头点，两个端点分别接板极栅极，中部的接头(可移动)接电子



a)



b)

图 7-11 哈脱莱振荡器线路

管阴极，这样就保证了产生振荡所必须满足的相位关系，即栅压  $u_g$  与振荡回路电压  $u$  同相。哈脱莱振荡器线路有一个缺点就是它的振荡回路中谐波电压较其他振荡器大些，因为没有低阻抗通路让这些谐波电流回到阴极。哈脱莱振荡器线路很容易改变为板调振荡器线路，只要将电容  $C$  改跨接在线圈的一部分  $L_a$  的两端就成。

**柯耳毕茲振荡器线路** 图 7-12 所示为柯耳毕茲振荡器线路，它与哈脱莱振荡器线路相似，惟用两只串联电容  $C_1$  与  $C_2$  替代了  $L_a$  与  $L_g$ 。振荡回路的电容  $C$  系由串联电容  $C_1$  与  $C_2$  决定，在栅漏电阻  $R_g$  上串有一高频抗流圈  $L'_g$  以阻止振荡回路的高频电流流经  $R_g$ 。柯耳毕茲电路比哈脱莱电路有着更好的振荡波形，振荡回路中谐波电压较小，因为  $C_1$  与  $C_2$  供给了谐波电流以低阻抗通路。

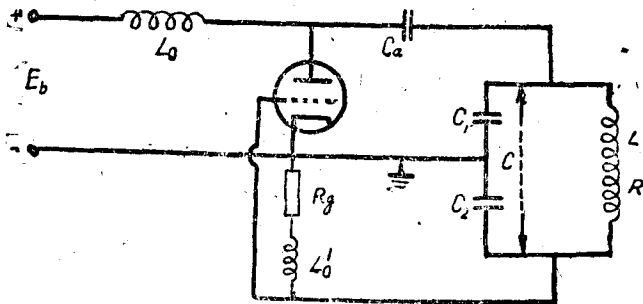


图 7-12 柯耳毕茲振荡器线路

**电子管极间电容耦合振荡器线路** 这种线路(图 7-13)的特点是板路与栅路中均有一个振荡回路，板路线圈与栅路线圈间并无磁耦合，而板路电能反馈到栅路是依靠了板栅极间电容  $C_{tg}$ 。如果在某振荡频率时板负载是电感性的，则用了适当的电路参数后就可使三极管的输入电阻呈负性，并抵消振荡回路的正电阻(损耗)，因而振荡得以产生。这种振荡器之所以要用三极管，是因为三极管的极间电容较大，反馈的能量较多，因而振荡条件容易满足。